

## BRONŞİOLİTİS OBLİTERANS ORGANİZE PNÖMONİ (4 OLGU NEDENİYLE)

Dursun TATAR\*, Ebri Yılmaz GÜNES\*, Hüseyin HALİLÇOLAR\*,  
Zekîye Aydoğdu DİNÇ\*\*, Rıfat ÖZACAR\*

\* İzmir Göğüs Hastalıkları ve Cerrahisi Eğitim ve Araştırma Hastanesi, Göğüs Hastalıkları ve Tüberküloz Kliniği, İZMİR

\*\* İzmir Göğüs Hastalıkları ve Cerrahisi Eğitim ve Araştırma Hastanesi, Patoloji Laboratuvarı, İZMİR

### ÖZET

Bronşiolerde kısmi veya tam tikanıklığa neden olan granülasyon dokusu, bronşiyal ve peribronşiyal fibrozis ile granülasyon dokusu ve eksudanın alveollerin içine yayılması durumu 'bronşiolitis obliterans organize pnömoni (BOOP)' olarak tanımlanır. Kliniğinizde son dört yıl içinde BOOP tanısı alan dört olgu incelendi. Yaş ortalaması 46 (40-54) idi. Yakınmalar, dispne, göğüs ağrısı ve halsizlikti. Radyolojik olarak birer olguda retikülonodüler, kaviter, nodüler infiltrasyon ve alveolar konsolidasyon saptandı. Tanı, üç olguda transbronşiyal dokü biyopsisi, birinde açık akciğer biyopsisiyle kondu. Nedenler; bir olguda toksik gaz inhalasyonu, bir olguda infeksiyondu. İki olguda ise herhangi bir etyolojik neden saptanamadı ve bu olgular, idyopatik BOOP olarak değerlendirildi. İnfeksiyon kliniği sergileyen olgunun balgam, bronş aspirasyon sıvısı ve bronkoalveolar lavaj sıvısında etken saptanamadı ancak antibiyoterapiyle düzeldi. Diğer üç olguya steroid tedavisi uygulandı. Toksik gaz inhalasyonuna maruz kalan olguda iki hafta sonra tama yakın düzeline izlendi. Diğer iki olguda tedaviyle klinik, radyolojik ve diğer laboratuvar bulgularında belirgin düzelleme sağlandı. Olgulardan elde edilen verilerle birlikte BOOP, literatür bilgileri ışığında gözden geçirildi.

(Solumum 2002;4:38-44)

Anahtar sözcükler: BOOP, kavitaşyon, tama.

### SUMMARY

## BRONCHIOLITIS OBLITERANS WITH ORGANISING PNEUMONIA (Four cases)

*Granulation tissue causing partial and complete obstruction of bronchioles, granulation tissue with bronchial and peribronchial fibrosis, and alveolar invasion by exudate are defined as bronchiolitis obliterans with organising pneumonia (BOOP). Four cases, who have been diagnosed as BOOP in our clinic the last four years, were reviewed. The mean age was 46 years (range: 40-54). Symptoms were dyspnea, thoracic pain and fatigue. Reticulonodular, cavitary, nodular infiltrates, and alveolar consolidation were determined radiologically in each, respectively. The diagnosis was made by transbronchial lung biopsy in three cases and by open lung biopsy in one. The cause was toxic gas inhalation in one and infection in the other one. No cause could be shown in the remaining two, and these were considered idiopathic BOOP. No pathologic agent was found in the sputum, bronchial aspirate, bronchoalveolar lavage fluid of the case, presenting with clinical picture of infection but this case recovered by antibiotic therapy. Corticosteroid therapy was given to the other three cases. The case, suffering from toxic gas inhalation, recovered in two weeks almost completely. In the other two cases, there was significant improvement regarding clinical, radiological and laboratory findings after treatment. Together with the data, we have obtained from the cases above, BOOP was reviewed under the light of the literature.*

(Solumum 2002;4:38-44)

Key words: BOOP, cavitation, diagnosis.

Yazışma adresi: Dr. Dursun TATAR, Göğüs Hastalıkları ve Cerrahisi Eğitim ve Araştırma Hastanesi 35110 Yenişehir/İZMİR.

Tel.: (232) 433 33 33 Fax:(232) 458 72 62

Bu çalışma Toraks Derneği Ulusal Akciğer Sağlığı Kongresi'de tartışmalı poster olarak sunulmuştur.

## GİRİŞ

Bronşiolitis obliterans (BO), bronşollerde kısmi veya tam tıkanıklığa neden olan granülasyon dokusu, bronşiyal ve peribronşiyal fibrozis ile karakterize izole hava yolu hastalığıdır. Alveoller ve alveol kanalları etklenmemiştir. Polipoid kitle şeklinde granülasyon dokusu ve ekstidanın alveollerin içine yayılması durumu "bronşiolitis obliterans ve organize pnömoni (BOOP)" olarak adlandırılır (1).

Bronşiolitis 1800'lerden beri bilinen, 1901 yılında bronşiolitis obliterans adıyla klinikopatolojik bir sindrom olarak tanımlanan ve 1985'de BOOP isimlamasıyla tıp literatüründe yer bulan bir hastalıktır. Etyolojisine göre; toksik gaz inhalasyonu, infeksiyonlar, ilaç reaksiyonları ve idyopatik olarak tanıma grupta incelenir. İdyopatik BOOP, kriptojenik organize pnömoni (KOP) olarak da adlandırılır. İstropatolojik olarak konstrüktif ve proliferatif bronşiolit şeklinde iki temel görünüm sergiler (3). Konstrüktif bronşiolitte fibrozis ve skar dokusu yaygındır, alveol keseleri korunmuştur. Proliferatif tipe bronş lumeninde organize bağ dokusu artışı denir. Alveoler kanallar, alveol boşlukları ve duvalleri aydan etkilendir. BOOP ve KOP bu grupta yer almaktadır (3,4).

BOOP'un radyolojik görüntümleri değişkendir. Özellikle bilateral yamasal, alveoler veya buzlu cam görünümündeki infiltrasyonlar izlenir. Ancak kaviter ve nodüler lezyonlar da tanımlanmıştır (5). Uzışmamızda değişik etyolojili ve radyolojik görünümleerde 4 BOOP olgusu sunularak literatür üzerinde tartışıldı.

## OLGULAR

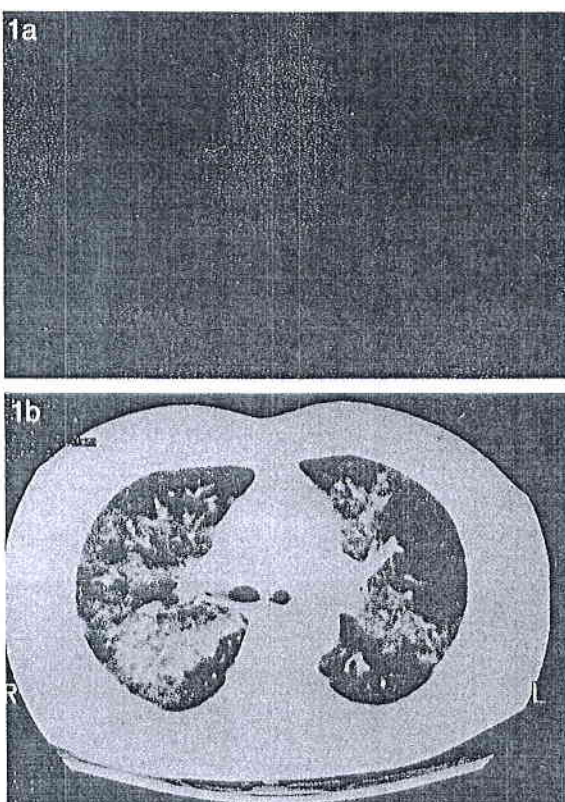
### OLGU 1:

72 yaşında erkek olgu. 15 gün önce başlayan efor dispnesi ve son birkaç gündür olan kuru öksürük akınmaları vardı. Başvurduğu doktorun verdiği antibiyotik ve bronkodilatör tedaviden yarar sağlamamıştı. 80 paket-yl sigara kullanımı ve babasında diabetes mellitus öyküsü vardı.

**Sık Bakı:**  $37^{\circ}\text{C}$  ateş, dispne ve siyanozu vardı. Dolemekle sol akciğer orta ve alt, sağ akciğer altlarında geç inspiryum ralleri duyuldu. Diğer sistem ralleri olağandı.

**Laboratuvar Bakısı:** Eritrosit sedimentasyon hızı 72 mm/saat, lökosit  $11.300/\text{mm}^3$  idi. Rutin kan selemesinde patolojik olarak albumin düşük ( $2.7 \text{ g/L}$ ), globulin yüksek ( $3.2 \text{ gr/dL}$ ) bulundu.

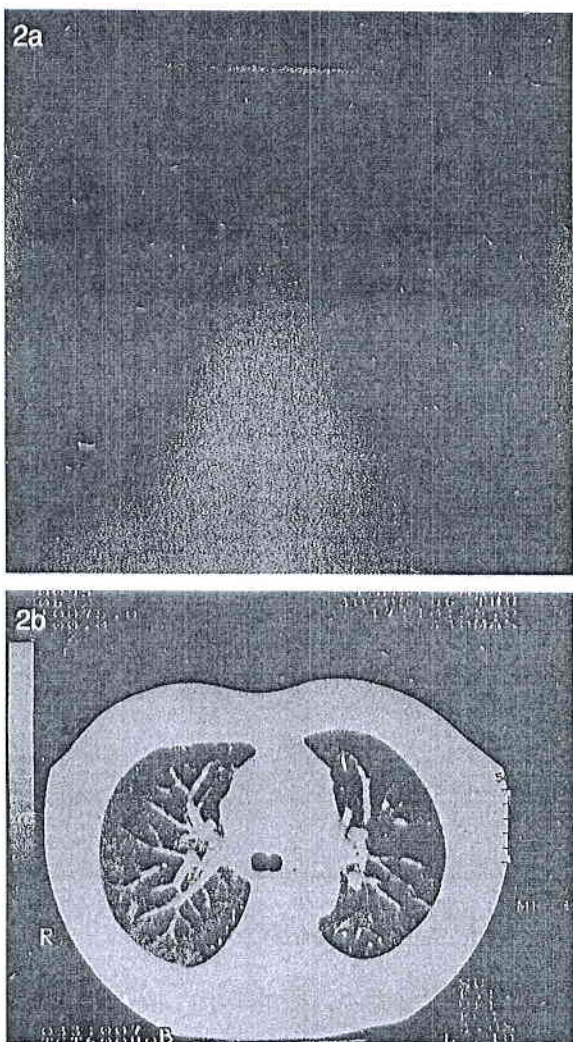
Posteroanterior (PA) akciğer radyogramında bilateral, yaygın, yamasal infiltrasyonlar izlendi. Toraks bilgisayarlı tomografisinde bu lezyonların alveoler konsolidasyon alanları olduğu görüldü (Resim 1).



Resim 1: Olgu 1'in başvuru PA akciğer radyogramı (a). ve toraks bilgisayarlı tomogramı (b).

Solunum fonksiyon testinde (SFT) ileri derecede restriktif tipte solunum fonksiyon bozukluğu (1. saniye zorlu ekspiratuvar voltüm (FEV<sub>1</sub>): % 43 (1.41 L), zorlu vital kapasite (FVC): % 46 (1.96 L) ve FEV<sub>1</sub>/VC: % 94), kan gazi incelemesinde normokapnik hipoksisi (pH: 7.43, pCO<sub>2</sub>: 35 mmHg, pO<sub>2</sub>: 46 mmHg) saptandı. Fiberoptik bronkoskopi (FOB) incelemesinde tüm bronşlar açık izlendi. Sağ orta lob ve linguladan bronkoalveoler lavaj (BAL) ve orta lobdan transbronşiyal akciğer biyopsisi (TBB) yapıldı. BAL incelemesinde lenfosit hakimiyeti (sağ-sol: makrofaj % 58-% 56, lenfosit % 23-34 PNL % 19-10), biyopsisinde bronşiolitis oliterans organize pnömoni tipinde bağ dokusu proliferasyonu saptandı. Romatolojik hastalıklar yönünden yapılan incelemeleri (ANA, RF, Ig ve komplemen düzeyleri) normal bulundu, CRP pozitifti. BOOP tanısıyla 60 mg/gün intravenöz (IV) prednizolon tedavisi başlandı. Bir haftalık tedavi sonrası yapılan kontrollerinde klinik, radyolojik ve laboratuvar değerlerinde belirgin düzelmeye izlendi. (SFT:FEV<sub>1</sub>: % 78 (2.55 L), FVC: %80 (3.37

L), FEV<sub>1</sub>/VC: %97) (Resim 2). Steroid tedavisine toplam 1 yıl devam edildi ve dozu azaltılarak kesildi.



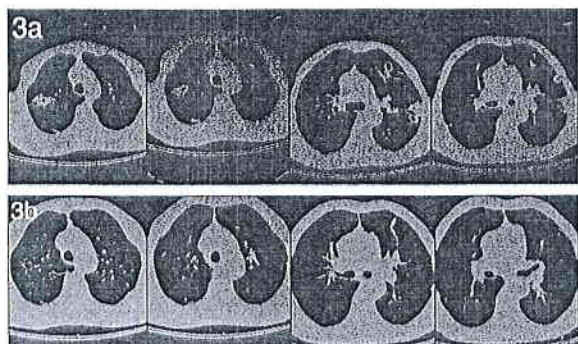
Resim 2: Olgu 1'in tedavi sonrası PA akciğer radyogramı (a) ve toraks bilgisayarlı tomogramı (b).

#### OLGU 2:

48 yaşında erkek olgu. Göğüs ağrısı, balgam咳き出し, halsizlik, iştahsızlık ve kilo kaybı yakınlamalarıyla başvurdu. 1980'de mide kanaması nedeniyle mide operasyonu ve Haziran 1998'de karın ağrısı nedeniyle yapılan endoskopik inceleme sonucu saptanan alkalen gastrit öyküsü vardı. Aralık 1998'de şiddetli karın ağrısı nedeniyle hastaneye yatırılan olguda, yattığı sürede öksürük, az miktarda beyaz renkte balgam咳き出し ve kilo kaybı gelişmesi üzerine çekilen toraks bilgisayarlı tomografisinde, lezyon görülerek hastanemize yönlendirilmiştir.

Fizik Bakı: TA: 100/70 mmHg Nb: 86/dk. Ateş: 36.4°C. Genel durumu orta. Solunum sistemi bakısı normal, batında 20 cm median insizyon skarı mevcut. Karaciğer kot kavşinde 1 cm palpabl. Diğer sistem bakıları olağan.

**Laboratuvar Bakısı:** Eritrosit sedimentasyon hızı 60mm/saat, lökosit  $6500/\text{mm}^3$ . Balgam ve bronş aspirasyonunda homojenizasyonla ARB negatif bulundu. Bronş aspirasyonu mantar kültüründe üreme olmadığı. Rutin biyokimyasal incelemeleri olağandır. ASO, CRP pozitif, RF, antinükleer antikor (ANA) negatif bulundu. Protein elektroforezi: Albumin %45 (N),  $\alpha_1$ : %29 (N),  $\alpha_2$ : %10.9 (N),  $\beta$ : % 12-2 (N), globulin %29.3 (artmış) Alb/glb: 0.82. PA akciğer radyogramında sağ akciğerde 3.-5. ön kotlar arasında, lateralde sınırları net seçilemeyen heterojen infiltrasyon izlendi. Toraks bilgisayarlı tomografisinde sağ akciğer üst lob ve alt lob superior basal, sol akciğer üst lob anterior ve apikoposterior, alt lob basal segmentlerde kavitasyon saptandı (Resim 3). FOB incelemesinde tüm bronşlar açık görüldü. Sol üst lob anterior segmentten TBB ve BAL yapıldı. BAL'da hücre sayımı normal sınırlardaydı (makrofaj %91, lenfosit %7, PNL %2). Biyopsinin patolojik incelemesinde BOOP tipinde organizasyon bulguları yanısıra erken dönem nonspesifik fibrozis bulguları saptandı. Solunum fonksiyon testi değerleri normale yakındır. Bir aylık antibiyotik tedavisi sonrası düzelleme izlendi (FEV<sub>1</sub> %97-125 (3.96 L - 5.09 L) FVC %99-126 (5.02 L - 6.36 L), FEV<sub>1</sub>/FVC %79-80). Kan gazı incelemesinde pH: 7.37, pCO<sub>2</sub>: 36 mmHg, pO<sub>2</sub>: 113 mmHg, saturasyon: %98.2 idi. Bu olgumuzda BOOP tanısı kliniğimize yatarından 3 hafta sonra kondu. Çekilen kontrol toraks BT'sinde lezyonların düzelmekte olduğu görüldüğü için olguya steroid tedavisi verilmemiştir. Amoksisilin + klavulonik asit ve klaritromisin ile antibiyoterapisine devam edildi. Klinik ve laboratuvar bulgularında düzelleme sağlanmıştır (Resim 3).



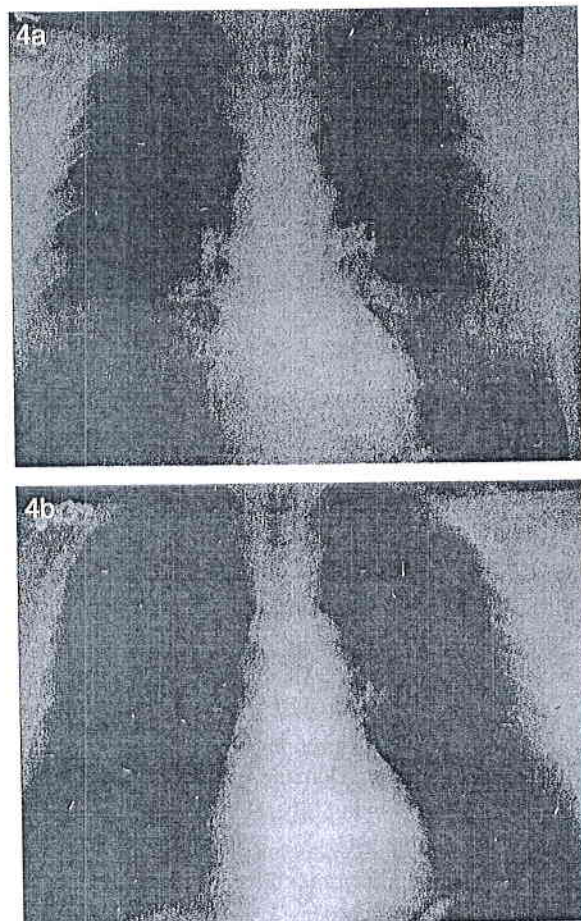
Resim 3: Olgu 2'nin başyurulu (a) ve tedavi sonrası toraks bilgisayarlı tomogramı (b).

#### OLGU 3:

AT, 40 yaşında, erkek. Nefes darlığı, kuru öksürük, boğazda yanma hissiyle başvurdu. 23 paket-yıl sigara külhanma öyküsü var. 10 yıldır içmiyor. 8 yıl klorifer kazancısı olarak çalışmış, 6 yıldır sıhhi tesisatçılık yapıyor. Daha önce herhangi bir yakınması yok iken

inşaat borularındaki kireci sökmek için, kendisine yanlışlıkla verilen ve normalde plastik borulardaki kireci çözmek için kullanılan teknik nitrik asid 37 bome (% 45 nitrik asit içeriyor) solüsyonunu demir aksamda kullanınca, daha önce hiç karşılaşmadığı sarı-kahverengi-yeşil renkte duman çıkmış. Olgu aralıklı olarak 10 dakika bu dumanı solumuş. Boğazda yanma, gözlerde yanma ve batma hissi olmuştu. İki saat sonra başağrısı, boğazda ağrı, yanma, bacaklıarda halsizlik hissi olmuştu. Bu arada el ve ayak derisinde sarı-yeşil renk değişikliği olmuştu. Evinde başağrısı artmış, gözlerde yanma, kızarıklık, boğazda yanma, göğüste sıkışma ve nefes darlığı yakınmaları olunca acilen bir hastaneye götürülmüş. Orada çekilen PA akciğer radyogramında lezyon görüülerek hastanemize yönlendirilmiştir. Fizik Bakı: TA: 120/60 mmHg, A: 36.4°C, N:100/dk. El ve ayak cildinde sarı yeşil renk değişikliği gözlandı. Konjunktivalar ve farinks hiperemik, bilateral akciğer bazallerinde dinlemekle inspiroyum ralleri duyuldu. Diğer sistem bakıları olağandı. Laboratuvar Bakısı: Sedim: 4 mm/ saat, BK: 14400/mm<sup>3</sup>-8100/mm<sup>3</sup> diğer rutin kan ve idrar incelemeleri normal. PA akciğer radyogramında, bilateral tüm akciğer alanlarında retikülonodüler tarzda yaygın infiltrasyon izlendi (Resim 4). Toraks bilgisayarlı tomografisinde, her iki akciğerde yaygın mikronodüler infiltrasyon ve yer yer buzlu cam görünümü ve her iki hemitoraks dorsalinde az miktarda serbest plevral sıvı izlendi. Bulgular bronşiyal ve interstisyel hasar (respiratuvar bronşiyolit) ile uyumlu bulundu. Kan gazı incelemesinde normokapnik hipoksi vardı ve iki haftalık tedavi sonrası düzelleme izlendi (pH: 7.40 – 7.37, PCO<sub>2</sub>: 38.2-40 mmHg, PO<sub>2</sub>: 69.6-95 mmHg, saturasyon % 93-97). SFT Bulguları: FEV<sub>1</sub>: % 67-87 (2.63 L – 3.40 L), FVC: % 90-100 (4.25 L-4.37 L), FEV<sub>1</sub>/FVC: %62-72 idi. FOB incelemesinde tüm bronş sistemi mukozası, üst solunum yolları dahil, hiperemik görüldü. Orta lobdan BAL ve TBB yapıldı. BAL incelemesinde atipik taşlı yüzük benzeri kuşku lu hücre izlenmesi üzerine hasta gastrointestinal malignite yönünden incelendi (BT, endoskop), bu yönde bir bulgu saptanmadı. Biyopsinin patolojik incelemesinde, birkaç alveol lumeninde BOOP benzeri fibrozis ve tip II pnömositlerde belirginleşme saptandı.

Olguya toksik gaz inhalasyonu nedenli BOOP tanısı konarak, prednizolon 50 mg/gün IV ve nonspesifik antibiyotik tedavisi verildi. Klinik ve laboratuvar değerleri düzelen olgunun steroid tedavisi üç ayda azaltılarak kesildi (Resim 4).



Resim 4: Olgu 3'ün başvuru (a) ve tedavi sonrası PA akciğer radyogramu (b).

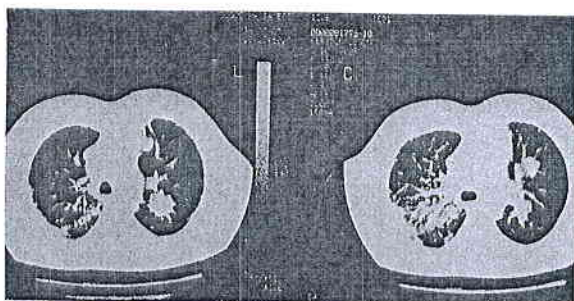
#### OLGU 4:

FO, 54 yaşında erkek. Öksürük, halsizlik, sırt ağrısı, kilo kaybı ve ses kısıklığı yakınmalarıyla başvurdu. 2.5 aydır süregelen yakınmaları nedeniyle doktor önerisiyle kullandığı tedavilerden yarar görmemiş ve bu sürede 10 kg zayıflamış. 20 paket-yıl sigara kullanma öyküsü var.

Fizik Bakı: TA: 120/70 mmHg, Nb: 100/dk, A: 37°C Konjunktivalar soluk, solunum sistemi oskultasyonunda sağda sırttan ve önden dinlenmekle ekspiratuvar ronküslər ve bilateral bazallerde inspiroyum ralleri duyuldu. Diğer sistemler olağandı.

Laboratuvar Bakısı: Sedim: 150mm/saat, lökosit:18500/mm<sup>3</sup>, Hb 8-9.2 (2 ünite kan transfüzyonu yapıldı), tüberkülin deri testi pozitif (18 mm), ürik asit 10.6 mg/dL idi. Diğer rutin kan ve idrar incelemeleri normal sınırlardaydı. PA akciğer radyogramında bilateral kostofrenik sinüsler kapalı, mediyasten tüm zonlarda geniş, hilus sınırları net izlenmiyor, solda alt zon paraarkardiyak alanda ve üst zon birinci kot ön kolu düzeyinde homojene yakın heterojen infiltrasyon izlendi. Toraks BT'de multipl parakimal nodüller

saptandı (Resim 5).



Resim 5: Olgu 4'ün başvuru toraks bilgisayarlı tomogramu.

Batın USG'de sol böbrek atrofisi dışında tüm batın organları normal bulundu. ASO, CRP, RF negatif, grup aglutinasyon ve brucella yönünden incelemeleri olumsuz bulundu. FOB incelemesinde tüm bronşlar açık, sağ üst lob ve solda lingula karinası künt, orta lob bronşu hafif dar ve mukozası hiperemikti. Orta lobdan BAL ve transbronşiyal iğne aspirasyon biyopsisi (TBİAB) uygulandı. BAL, TBİAB ve bronş aspirasyonu sitolojik incelemesi benign sonuçlandı. Mikobakteriyolojik incelemede her iki sıvıda ARB (+) bulundu. Olguya standart tüberküloz tedavisi başlandı. Birinci ay kontrollünde lezyonlarda değişiklik izlenmedi ve BAL, bronş aspirasyonu kültüründe üreme olmadı. Bunun üzerine göğüs cerrahisi konsültasyonu ile olguya açık akciğer biyopsisi planlandı. Operasyonda alınan sol üst lob posterolateralden parankimal nodül ve sol alt lob superior segmentten "wedge" rezeksiyon örneğinin patolojik incelemesinde, BOOP ile uyumlu, geniş alanlarda alveolar yapıyı ortadan kaldırılan nötrofil ve makrofajlardan oluşan yangısal infiltrasyon ve fibrozis, bir alanda bronşoller içinde lümeni daraltan veya tıkanan fibroblastlar ve kollajenden ibaret proliferasyon saptandı (Resim 6).



Resim 6: Olgu 4'e ait biyopsi patolojik görünümü. Organize pnömoni ve bronşiyolitis obliterans alanları (H&E x40).

Olgunun SFT değerleri tedavi öncesi ve iki aylık tedavi

sonrası: FVC: %52 - 64 (1.91 L- 2.35 L), FEV<sub>1</sub>: % 59-70 (1.64 L - 2.10 L) FEV<sub>1</sub>/FVC: % 85-89 idi. Kan gazı incelemesinde hipokapnik hipoksisi vardı (pH: 7.28, pCO<sub>2</sub>: 38 mmHg, pO<sub>2</sub>: 59 mmHg, saturasyon: %85). Olguya nonspesifik antibiyotterapi ve broncodilatör tedavi ile birlikte 50 mg/gün prednizolon IV başlandı. Klinik ve radyolojik düzelleme izlendi. Steroid tedavisi doz azaltılarak toplam 6 ay uygulandıktan sonra kesildi.

En az 2 yıllık izlem sonrası olgularımızın hiç birinde relaps gelişmedi. Olgular halen izlemimizde bulunmaktadır.

## TARTIŞMA

Kriptojenik organize pnömoni (idyopatik BOOP) ayrı bir klinik antite olarak 1901 de Lange tarafından tanımlanmıştır (6). Fakat klinik ve laboratuvar özellikleri 1980'lerde açıklık kazanmıştır (7). Gerçek insidans ve prevalansı bilinmemekle birlikte prevalansının 100.000'de 6-7 dolayında olduğu bildirilmektedir (6,7,8). Hastalık genellikle 5-6. dekadlarında her iki cinsten benzer oranlarda görülür. Hastaların % 75'inde semptomlar iki aydan kısa sürelidir. Nadiren altı aydan uzun semptom öyküsü verirler. Sigara içimi risk faktörü değildir. Hastaların % 50'sinde sigara kullanımı söz konusu değildir, % 25'i sigarayı bırakmış ve yalnızca % 25'i sigara içicisidir (6,9). Olguların % 72'inde persistan nonprodüktif öksürük yakınması vardır. Ayrıca egzersiz dispnesi (% 66), grip benzeri ateşli hastalık (% 51), kırıkkılık (% 48), yorgunluk diğer semptomlardır. Kilo kaybı % 57 içinde izlenir (6). Toplumdan kazanılmış pnömoni benzeri klinik sergilerler. Fizik bakıda inspiratuvar raller (velcro raller), nadiren wheezing duyulur. Çomak parmak % 5'ten az hastada izlenir. Bir seride % 28 olguda normal solunum fonksiyonu saptanmıştır (6,10,11,12). KOP tanısı alan olgularımız (2 ve 4. olgular) 6. dekadda yer almaktaydı ve hastalık süreleri ortalama iki aydı. Her ikisinde öksürük halsizlik yakınmaları yanısıra, 2. olguda efor dispnesi, 4. olguda kilo kaybı yakınmaları vardı. İki olgumuz da sigara içicisiydi (ortalama 50 paket-yıl). Fizik bakı bulguları da KOP'yle uyumluydu.

İnfeksiyonlar BOOP gelişiminden sorumlu olabilirler (3,4,6,12). Viruslar, özellikle adenovirus, M. pneumoniae ve legionella infeksiyonları BOOP kliniği sergileyebilirler (4). Toplam iki ay kliniğimizde yatarak antibiyotik tedavisi alan ve klinik ve radyolojik olarak oldukça yavaş düzelleme izlenen ikinci olgumuzda infeksiyon kliniği vardı ve antibiyotik tedavisiyle klinik ve radyolojik düzelleme sağlandı. Bazı hastalarda BOOP

3-6 ayda spontan olarak düzenebilir (6). Bu olgumuzda steroid tedavisi verilmeksızın, uzun sürede gerçekleşen iyileşme, spontan iyileşme olasılığını düşündürmektedir. BOOP'lı olguların rutin laboratuvar incelemelerinde; % 50 lökositoz saptanır. ESH tümünde yüksek bulunur ve CRP % 70-80 olguda pozitiftir (6,12). Üçüncü olgu hariç diğerlerinde CRP (+) ve ESH yüksek, tümünde lökositler artmış.

BOOP olgularının SFT incelemesinde restriktif tipte solunum fonksiyon bozukluğu ve diffüzyon kapasitesinde azalma ve sigara içenler dışında normal akım hızları saptanır. % 83'ünde hipoksemi vardır (4,12,13). 1, 3 ve 4. olgularımızda hipoksemi ve restriktif tipte solunum fonksiyon bozukluğu vardı. Radyolojik olarak bilateral dağınık alveoler infiltrasyon en sık rastlanan bulgudur. Kaviter, nodüler görünümlü ve plevra sıvısı nadirdir (5,12). Olgularımızın 2'sinde (1 ve 3. olgular) bilateral alveoler infiltrasyon, birinde (2. olgu) multipl kavitasyon ve diğerinde (4. olgu) nodüler infiltrasyon izlendi. Toraks bilgisayarlı tomografisinde genellikle periferik yerleşimli konsolidasyon görülür (11). Müller ve arkadaşları 14 olguluk serilerinde BOOP'nin BT bulgularını dağınık alveoler konsolidasyon, küçük nodüler opasiteler, bronşiyal duvar kalınlaşması ve dilatasyon olarak belirtmelişlerdir (15). Subpleural alveoler konsolidasyon olguların yarısında saptanmıştır. Yine aynı yazarlar bir başka çalışmalarında BOOP'nin en belirleyici yüksek rezolusyonlu bilgisayarlı tomografi (YRBT) bulgusunun buzlu cam görünümü olduğunu ileri sürmüştür (16,17). Ancak buzlu cam görünümü "usual" interstisyal pnömoni (UIP) ve kronik eozinofilik pnömoni gibi diğer interstisyal akciğer hastalıklarında da izlendiği için YRBT tek başına ayırcı tanıda yeterli değildir. Buzlu cam görünümü alveoler konsolidasyon yanı sıra alveoler septal inflamasyon ve alveoler sellüler deskuamasyonda da izlenir. Ancak alveoler konsolidasyon BOOP'de UIP'den daha fazla izlenir ve dolayısıyla buzlu cam görünümü sıklığı BOOP'de daha fazladır (18). Olgularımızın 2'sinde buzlu cam görünümü, birinde multipl kavitasyon ve birinde subpleural nodüler infiltrasyon saptandı. BOOP'de histolojik olarak alveol duktusları ve alveollere kadar uzanan intraluminal granülasyon dokusu plakları vardır. Konnektif doku proliferasyonuyla intraluminal polipler oluşabilir. Bu görünüm, proliferatif BO olarak adlandırılır. Ayrıca, obstrüksiyona bağlı olarak alveollerde köpükşü makrofaj birikimi ve fibrinoz eksuda gelişir. Alveol duvarı inflamasyonu değişik derecelerde interstisyal kalınlaşma ve epitelyal hiperplazi, düzgün sınırlı, yuvarlak, miksomatöz konnektif doku, nadiren

granülomatöz doku olmaksızın multintikleer dev hücre saptanabilir. Tip II pnömosit hiperplazisi ve skuamöz metaplazi de izlenebilir. Bal peteği akciğer, nadiren gelir (3,4).

Birinci olguda BOOP tipinde bağ dokusu proliferasyonu, 2. olguda ek olarak erken dönemde nonspesifik fibrozis bulguları, 3. olguda BOOP benzeri fibrozis ve tip 2 pnömositlerde belirginleşme ve 4. olguda geniş alanlarda alveoler yapıyı ortadan kaldırın, lenfosit, nötrofil ve makrofajlardan oluşan yangısal infiltrasyon ve fibrozis, bir alanda lümeni daraltan veya tıkanan fibroblastlar ve kollajenden oluşan proliferasyon saptandı.

FOB normaldir veya hafif inflamasyon bulguları saptanır. BAL sıvısında makrofaj oranı azalmış ve çoğu köpüklüdür. Lenfosit (% 20 ve üstü) nötrofil (% 10 ve üstü) ve eozinofiller (% 5 ve üstü) artmıştır, CD4/CD8 oranı azalmış, leu-7 lenfositler normal orandadır (% 15 ve altı). HLA-DR antijeni (+) lenfositler aktive olmuştur (19). BAL'da hücre analizi gerçekleştirilebilen birinci olgumuzda lenfosit ve nötrofil artışı, 2. olgumuzda sınırlı nötrofil artışı söz konusu oldu. Üçüncü olguda malign kuşkulu hücre varlığı nedeniyle hücre sayımı yapılmadı. Dördüncü olgumuz multipl soliter lezyonlar nedeniyle metastatik akciğer kanseri ön tanısıyla incelediği için, uygulanan BAL'de patolojik ve mikrobiyolojik inceleme yapıldı ancak hücre analizi uygulanmadı.

BOOP tanısında açık akciğer biyopsisi altın standarttır (3). Ancak YRBT destekli transbronşiyal biyopsi (TBB) ile de tanısal örnek elde etmek olasıdır. Yapılan bir çalışmada video yardımı torakoskop (VATS) ile de yeterli doku elde edilerek tanıya gidilebileceği bildirilmiştir (12). TBB % 29, açık akciğer biyopsisi % 67 tanısal bulunmuştur (20). Olgularımızın üçünden tanıya uyumlu klinik ve laboratuvar bulguları eşliğinde TBB ile ulaşıldı. Son olgumuz açık akciğer biyopsisi ile tanı aldı.

BOOP'un ayırcı tanısında kronik eozinofilik pnömoni, idiyopatik pulmoner fibrozis, deskuamatif interstisyal pnömoni ve diffüz panbronşiyolit göz önünde bulundurulmalıdır (4).

Semptomatik ve progresif özellik gösteren BOOP olgularında, prednizolon tedavisi önerilir. Başlangıç dozu 1-3 ay arasında 1 mg/kg dir. Sonraki 3 ay 40 mg/gün ve daha sonra 10-20 mg/gün dozdada tedavi 1 yıla tamamlanır. 40 mg/gün prednizon dozu ile 6 aylık kısa süreli tedavi de yeterli olabilir. Tedavi gören hastalarda steroid tedavisine yanıt % 65-80, mortalite % 5 oranındadır (21). Yüksek doz inhale steroidler de tedavide denemektedir (beklometazon, flutikazon 2 mg/gün) (22). Steroide alternatif olarak düşük doz

eritromisinle (600 mg/gün) de iyi sonuçlar alındığı bildirilmektedir (4,12). Olgularımızın biri antibiyotik tedavisi ile düzeldi. Diğer üç olgu steroid tedavisine yanıt verdi. İlk olgumuzun tedavisi bir yılın sonunda kesildi ve relaps izlenmedi. Toksik gaz inhale eden olguya tedavi tiç ay uygulandı. Son olgumuzun tedavisi 6 ayın sonunda kesildi ve 2 yıldan beri izlenen olguda relaps gelişmedi.

Sonuç olarak; subakut solunumsal yakınmalarla başvuran ve antibiyotik tedavisine yanıt vermayen alveoler infiltrasyonu olan olgularda, ayırıcı tanıda BOOP düşünülmelidir. Ayrıca BOOP'nin sıradışı klinik ve radyolojik görüntü sergileyebileceği de gözardı edilmemelidir. Her ne kadar TBB'nin tanıda başarı oranı, yetersiz ve uygunsuz örnek alımı nedeniyle düşük bildirilse de, uyumlu klinik ve laboratuvar bulguları gösteren olgularda, özellikle YRBT kılavuzlığında uygulanan TBB ile daha iyi sonuçlar alınacaktır.

## KAYNAKLAR

1. Çelik G, Erdem F, Alper D. Akut bronşit, bronşiolitis obliterans. İçinde: Numanoğlu N (ed). Klinik Solunum Sistemi ve Hastalıkları. Antıp A.Ş Ankara; 1997:369-378.
2. Karadağ M. Akut bronşiyolitler. İçinde: Özyardımcı N (ed). Nonspesifik Akciğer Hastalıkları. Uludağ Üniversitesi Merkez Kitütiphanesi. Bursa; 1999:347-359.
3. Hasleton PS. Pulmonary bacterial infection. In: Hasleton PS (ed.). Spencer's pathology of the lung. Fifth Edition. New York. Mc Graw-Hill; 1996: 189-256.
4. Karnak D, Kayacan O, Beder S ve ark. Bronşiolitis obliterans (iki olgu). Tüberküloz ve Toraks Dergisi 1998;46:180-186.
5. Domingo SA, Calvo S, Carretero SA ve ark. Bronchiolitis obliterans organizing pneumonia: An unusual cause of solitary pulmonary nodule. Chest 1993;103:1621-1623.
6. King TE. Bronchiolitis. In: Fishman AP, Elias SA, Fishman SA, Grippi MA, Kaiser LR, Senior RM (eds). Fishman's pulmonary disease and disorders. Third edition. Pennsylvania. Mc Graw-Hill; 1998:825-847.
7. Mroz BJ, Sexcuer WP, Meade A, Balsara G. Hemoptysis as the presenting symptom in bronchiolitis obliterans organizing pneumonia. Chest 1997;111:1775-1778.
8. Alasyl K, Muller N, Ostrow D ve ark. Cryptogenic organizing pneumonia: a report of 25 cases and review of the literature. Medicine 1995;74:201-211.
9. King TE. Bronchiolitis obliterans. In: Schwarz MI, King TE (eds). Interstitial Lung Disease, Second Ed. St Louis. Mosby-Year book; 1993:463-495.
10. Epler GR, Colby TV, Mc Loud TC ve ark. Bronchiolitis obliterans organizing pneumonia. New Engl J Med 1985;312: 152-158.
11. Epler GR. Bronchiolitis obliterans organizing pneumonia. Semin Respir Infect 1995;10:65-77.
12. Yıldız F, İlgaçlı A, Boyacı H. Bronşiyolitis obliterans ve bronşiyolitis obliterans organize pnömoni. Solumum Hastalıkları 1999;20:427-433.
13. Garay JB, Zurdo MR, Lopez OA ve ark. Bronchiolitis obliterans organizing pneumonia. Review of six cases. Rev Clin Esp. 1996;196:103-106.
14. Preidler KW, Szolier DM, Moelleken S ve ark. Distribution pattern of computed tomography finding in patients with bronchiolitis obliterans organizing pneumonia. Invest Radiol 1996;31:251-255.
15. Müller NL, Staples LA, Miller RR. Bronchiolitis obliterans organizing pneumonia: CT features in 14 patient. AJR 1990; 154:983-987.
16. Müller NL, Miller RR. State of the art: Computed tomography of chronic diffuse infiltrative lung disease: Part I. Am Rev Respir Dis. 1990;142:1206-1215.
17. Müller NL, Miller RR. State of the art: Computed tomography of chronic diffuse infiltrative lung disease: Part II. Am Rev Respir Dis. 1990;142:1440-1448.
18. Nishimura K, Itoh H. High-resolution computed tomographic features of bronchiolitis obliterans organizing pneumonia. Chest 1992;102 (suppl):27-31.
19. Altın S. Kriptojenik organize pnömoni. Heybeliada Tip Bülteni 1996;2:79-82.
20. Costabel U, Teschner H, Schoenfeld B ve ark. BOOP in Europe. Chest 1992;102 (suppl):5-9.
21. Epler GR. Bronchiolitis obliterans organizing pneumonia: definition and clinical features. Chest 1992;102(suppl):2-5.
22. Watson D, Fadem J.J. Bronchiolitis obliterans organizing pneumonia cured by standard dose inhaled triamcinolone: the first documented case. South Med J. 1995;88:980-983.